

МИНИСТЕРСТВО НАУКИ И ВЫСШЕГО ОБРАЗОВАНИЯ РФ
ФЕДЕРАЛЬНОЕ ГОСУДАРСТВЕННОЕ БЮДЖЕТНОЕ
ОБРАЗОВАТЕЛЬНОЕ
УЧЕРЕЖДЕНИЕ ВЫСШЕГО ОБРАЗОВАНИЯ
«РЯЗАНСКИЙ ГОСУДАРСТВЕННЫЙ РАДИОТЕХНИЧЕСКИЙ
УНИВЕРСИТЕТ им. В.Ф. Уткина»

Кафедра САПР ВС

ПОЯСНИТЕЛЬНАЯ ЗАПИСКА

к курсовому проекту по дисциплине

«Автоматизация конструкторского и технологического проектирования»

по теме:

«Алгоритм Акерса»

Выполнил студент группы 846

Шмаков А.Ю.

Руководитель работы

к.т.н., доц. Сапрыкин А.Н.

Рязань 2022

Министерство науки и высшего образования Российской Федерации
**ФГБОУ ВО «Рязанский государственный радиотехнический университет
им. В.Ф. Уткина»**

Факультет вычислительной техники

КУРСОВОЙ ПРОЕКТ

по курсу «Автоматизация конструкторского и технологического
проектирования»

Студент(ы) Шмаков Андрей Юрьевич группа 846

Тема: Алгоритм Акерса

Срок представления работы к защите: «05» апреля 2022 г.

Исходные данные для проектирования: Персональный компьютер Intel; операционная
система: Windows XP/Windows 7/ Windows 8/ Linux;
язык/среда программирования: Java/C#.

Требования к работе:

1. Листинг программы должен содержать поясняющие комментарии на русском языке.
2. Пояснительная записка представляется как в печатном, так и в электронном виде в соответствующем разделе личного портфолио студента на портале edu.rsreu.ru.
3. Программный модуль на портале edu.rsreu.ru как в виде скомпилированного EXE – файла, запускающего без предварительной инсталляции, так и исходных файлов.

Содержание пояснительной записки:

Бланк задания

Введение

1. Практическая и математическая постановка задачи
2. Анализ существующих алгоритмов решения задачи
3. Описание разрабатываемого алгоритма, его укрупненная схема
4. Развернутая блок-схема алгоритма
5. Руководство пользователя
6. Решение контрольного примера
7. Перечень идентификаторов, используемых при решении программы

Заключение

Список литературы

Приложение (листинг программного кода)

Задание принято к исполнению: Шмаков А.Ю.

_____ «10» февраля 2022 г.

Руководитель работы: доцент Сапрыкин А.Н.

_____ «10» февраля 2022 г.

Оглавление

1. Практическая и математическая постановка задачи	6
2. Анализ существующих алгоритмов	7
2.1 Алгоритм Акерса	7
2.2 Алгоритм Рабина	8
2.3 Лучевой алгоритм	8
2.4 Алгоритм слежения за целью	9
2.5 Кодирование ячеек по mod 3	10
2.6 Трассировка соединений с использованием каналов	10
2.7 Сравнение алгоритмов трассировки	11
3. Описание разрабатываемого алгоритма, его укрупненная схема	12
4. Развернутая блок-схема алгоритма	13
5. Руководство пользователя	19
5.1 Введение	19
5.1.1 Область применения	19
5.1.2 Краткое описание возможностей	19
5.1.3 Уровень подготовки пользователя	19
5.2 Назначение и условие применения	19
5.2.1 Виды деятельности, функции, программные и аппаратные требования к системе	19
5.3 Подготовка к работе	19
5.3.1 Состав дистрибутива	19
5.3.2 Запуск системы	19
5.3.3 Проверка работоспособности	20
5.4 Описание операций	20
5.5 Аварийные ситуации	21
6. Решение контрольного примера	22

6.1 Пример 1	22
7. Перечень идентификаторов, используемых при решении программы	
23	
Заключение	24
Список литературы	25
Приложение (Листинг программного кода).....	26

Введение

Задача трассировки соединений отдельных компонентов возникает на последних этапах проектирования электронных средств (ЭС) и является одной из наиболее сложных задач конструкторского проектирования.

Сложность трассировки печатных соединений, составляющих значительную долю в общем объеме соединений, связана с постоянным увеличением функциональной насыщенности электронных узлов при одновременном снижении их габаритов. Это вызывает нехватку площади для размещения соединений, а также большое количество пересечений, что приводит к резкому увеличению числа проводящих слоев и, естественно, отражается на таких параметрах ЭС, как надежность, габариты, стоимость.

При трассировке печатных соединений «ручным» способом невозможно быстро просмотреть различные варианты и выбрать наиболее приемлемый для конкретного узла вследствие зависимости действий на последующих шагах трассировки от проведенных ранее соединений. Поэтому на разработку эффективных алгоритмов автоматической трассировки соединений направлены в настоящее время основные усилия в области автоматизации конструкторского проектирования.

1. Практическая и математическая постановка задачи

С практической точки зрения постановка задачи выглядит следующим образом: плата представляется в виде дискретного рабочего поля (ДПР) с ячейками, количество которых равно $M \times N$, где M , N – размеры поля для трассировки. Каждый элемент ДПР отражает состояние ячейки – свободна, является начальной точкой трассировки, является конечной точкой трассировки, занята препятствием, является частью пути. Требуется построить кратчайший путь из начальной ячейки в конечную, при этом путь может включать только элементы, которые являются свободными.

Математическая постановка задачи выглядит следующим образом: необходимо найти путь из точки A в точку B , путем минимизации целевой функции весов ячеек, в зависимости от установленных заранее критериев построения пути.

2. Анализ существующих алгоритмов.

С математической точки зрения трассировка — наисложнейшая задача выбора из огромного числа вариантов оптимального решения. Существует большое количество алгоритмов трассировки печатной платы, их все можно разделить на 3 вида:

- 1) Волновые алгоритмы
- 2) Ортогональные алгоритмы
- 3) Эвристические алгоритмы

2.1 Алгоритм Акерса

В данном курсовом проекте будет рассмотрен один из волновых алгоритмов трассировки — алгоритм Акерса, который является улучшением алгоритма Ли.

Наиболее экономичный способ кодирования состояний ячеек коммутационного поля предложен Акерсом. При распространении волны ячейки поля получают отметки в соответствии с базовой последовательностью 1, 1, 2, 2, 1, 1, 2, 2, Данная последовательность характерна тем, что в ней любой член имеет разных соседей слева и справа. Вначале все незанятые ячейки, соседние с ячейкой-источником, помечаются 1, затем все ячейки фронта помечаются так же 1. Далее отметка 2 присваивается ячейкам фронта и т. д.

Для построения пути в общем случае необходимо найти требуемую подпоследовательность отметок базовой последовательности. Это легко может быть сделано по отметке ячейки-цели и отметке соседней с ней ячейки. В нашем случае цель достигнута первой 1, поэтому надо искать ячейку с отметкой 2. Их две: внизу и слева. Воспользуемся приоритетом. Вначале просматриваем ячейку снизу от цели. Поскольку ее вес равен 2, путь строим в нее. В ней вновь анализируем соседние ячейки в порядке приоритета. Ищем ячейку с весом 2. Это опять нижняя ячейка. Далее надо аналогично искать ячейку с весом 1.

В методе Акерса ячейка поля может находиться в следующих состояниях: пустая, занятая, иметь отметку 1 или 2. Таким образом, на каждую ячейку поля достаточно всего два двоичных разряда памяти.

2.2 Алгоритм Рабина

Пусть требуется найти путь минимальной длины между ячейками A и B; C_i – некоторая ячейка ДРП, включаемая в очередной фронт волны. Значение весовой функции P_i , приписываемое C_i -й ячейке фронта, определяется по формуле:

$$P_i = L(i,A) + \eta(i,B) \quad (1)$$

где $L(i,A)$ – длина кратчайшего пути из A в ячейку C_i , а

$$\eta(i,B) = |x_i - x_B| + |y_i - y_B| \quad (2)$$

расстояние между ячейками C_i и B в ортогональной метрике.

Нетрудно видеть, что $\eta(i,B)$ является нижней оценкой длины пути из C_i в B, полученной в предположении отсутствия препятствий на этом пути. Отсюда выражение (1) в целом представляет собой нижнюю оценку длины любого пути из A в B, проходящего через ячейку C_i . Согласно методу ветвей и границ оптимальное решение следует искать в подмножестве решений, имеющем наилучшую оценку. В соответствии с этим в сформированном очередном фронте волны выделяется подмножество ячеек с минимальной оценкой (1), а распространение волны на следующем шаге осуществляется из ячеек этого подмножества.

2.3 Лучевой алгоритм

Основная идея алгоритма, предложенного Л. Б. Абрайтисом, заключается в исследовании поля для определения пути между ячейками A и B по некоторым заранее заданным направлениям, подобным лучам. Это позволяет сократить число просматриваемых алгоритмом ячеек, а, следовательно, и время на анализ и кодировку их состояний, однако снижает вероятность нахождения пути сложной конфигурации и усложняет учет конструктивных требований к технологии печатной платы.

Работа алгоритма заключается в следующем. Задается число лучей, распространяемых из ячейки А и В, а также порядок присвоения путевых координат. Обычно число лучей для каждой из ячеек (источников) принимают одинаковым (часто равным двум). Лучи A^1, A^2, \dots, A^m и B^1, B^2, \dots, B^m считаются одноименными, если они распространяются из одноименных источников А или В. Лучи A^i и B^i являются разноименными по отношению друг к другу. Распространение лучей происходит одновременно из обоих источников до встречи двух разноименных лучей в некоторой точке С.

Путь проводится из ячейки С, в которой встретились лучи по путевым координатам, и проходит через ячейки, по которым распространялись лучи.

При распространении луча может возникнуть ситуация, когда две соседние ячейки будут заняты. В этом случае луч считается заблокированным и его распространение прекращается.

2.4 Алгоритм слежения за целью

Так же, как и алгоритм Рабина, алгоритм слежения за целью обеспечивает отыскание пути между двумя ячейками ДРП всегда, когда он существует. В алгоритме в качестве значения весовой функции для ячейки C_i на этапе распространения волны используется выражение (2).

Таким образом, распространение волны происходит из тех же ячеек очередного фронта, которые ближе расположены к ячейке – цели (без учета возможных препятствий). При этом, очевидно, сокращается зона поиска, но из-за приближенного вычисления нижней оценки для подмножества путей, ведущих из А в В через ячейку C_i , возможна потеря глобального минимума.

Кроме того, на этапе «проведения пути» иногда возникает неоднозначность, связанная с отсутствием монотонного изменения оценок формируемых фронтов. Поэтому при восстановлении трассы используют обычно только путевые координаты («приоритетные направления»), что приводит к сложным конфигурациям соединений.

2.5 Кодирование ячеек по mod 3

Наиболее эффективным способом кодирования состояния ячеек ДРП является метод путевых координат по модулю 3. Он базируется на том, что $P_{k-1} \neq P_k \neq P_{k+1}$. Ячейкам, включённым в последующие фронты, можно присваивать не сами веса, а их значения по модулю 3 (1,2,3,1,2,3...). Тогда количество разрядов на кодирование состояний ячеек будет равно $N = \log_2 5 = 3$. Проведение пути заключается в отслеживании отметок (1,2,3). Если ячейка имеет несколько соседних ячеек с одинаковыми метками, то используется правило приоритетных направлений.

Таким образом, кодирование ячеек по модулю 3, по сравнению с алгоритмом Ли, позволяет снизить затраты памяти и сделать их независимыми от максимально возможной длины пути

2.6 Трассировка соединений с использованием каналов

Особый тип алгоритмов предназначен для трассировки соединений на плоскости без пересечений. Они используются при проектировании однослойного монтажа при наличии в устройстве разнотипных по форме и размерам элементов.

В связи с тем, что ни один из известных алгоритмов не гарантирует полной трассировки при автоматизированном проектировании, считается целесообразным, чтобы в развитых системах автоматизированного конструкторского проектирования было несколько различных программ трассировки и имелась возможность их совместного использования при решении одной задачи. Оставшиеся непроложенными после трассировки соединения дорабатываются конструкторами вручную или в диалоговом режиме взаимодействия с ЭВМ.

Следует отметить, что при использовании САПР время проектирования топологии устройств, содержащих 20 ... 30 ИС, сокращается приблизительно на порядок, а для БИС практически нет другого способа достижения высокого качества проекта и его документации. Однако большим недостатком

современных систем автоматизированного конструкторского проектирования является необходимость огромного объема исходной информации, которая может готовиться порядка нескольких недель для БИС с уже разработанной логической схемой. Для преодоления этого недостатка необходимы создание САПР, соединяющих все этапы проектирования РЭА и имеющих интегрированную базу данных, содержащую инвариантную информацию, пополняемую в процессе разработки, а также стандартизация наиболее рациональных схмотехнических и конструктивных решений.

2.7 Сравнение алгоритмов трассировки

Алгоритм	Реализация	Быстродействие	Затратность ресурсов	Сложность
Лучевой Алгоритм	Простая	Низкое	Высокая	$O(n^2)$
Алгоритм Рабина	Средняя	Высокое	Средняя	$O(n^2)$
Алгоритм слежения за целью	Средняя	Высокое	Низкая	$O(n^2)$
mod 3	Простая	Среднее	Низкая	$O(n^2)$
Алгоритм Акерса	Простая	Высокое	Низкая	$O(n^2)$

3. Описание разрабатываемого алгоритма, его укрупненная схема

Укрупненная схема алгоритма представлена на рисунке 3.1

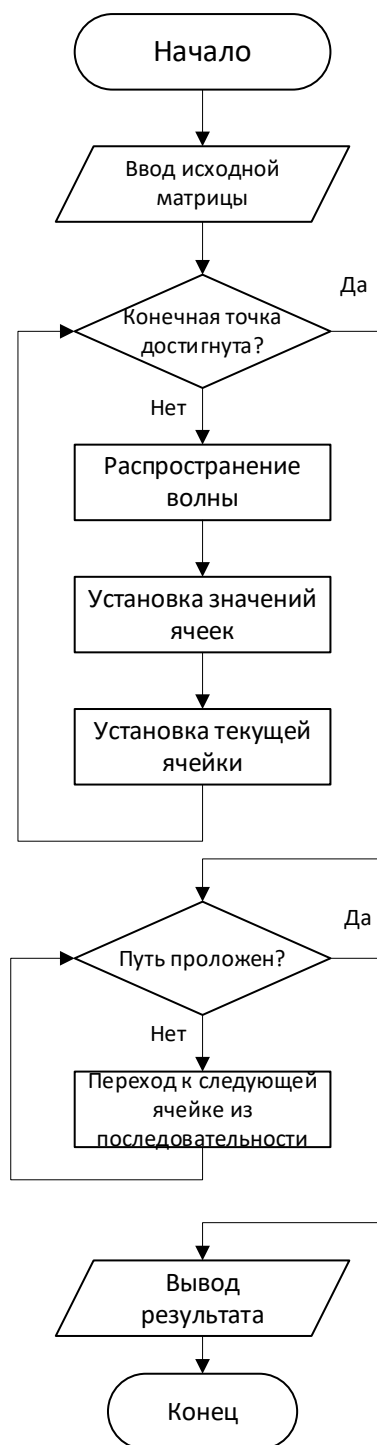


Рисунок 3.1 – «Укрупненная блок-схема алгоритма»

4. Развернутая блок-схема алгоритма.

Развернутая блок-схема алгоритма на языке программирования С# представлена на рисунках 4.1 - 4.8.

Функция BuildingField строит пустое поле (рисунок 4.1).

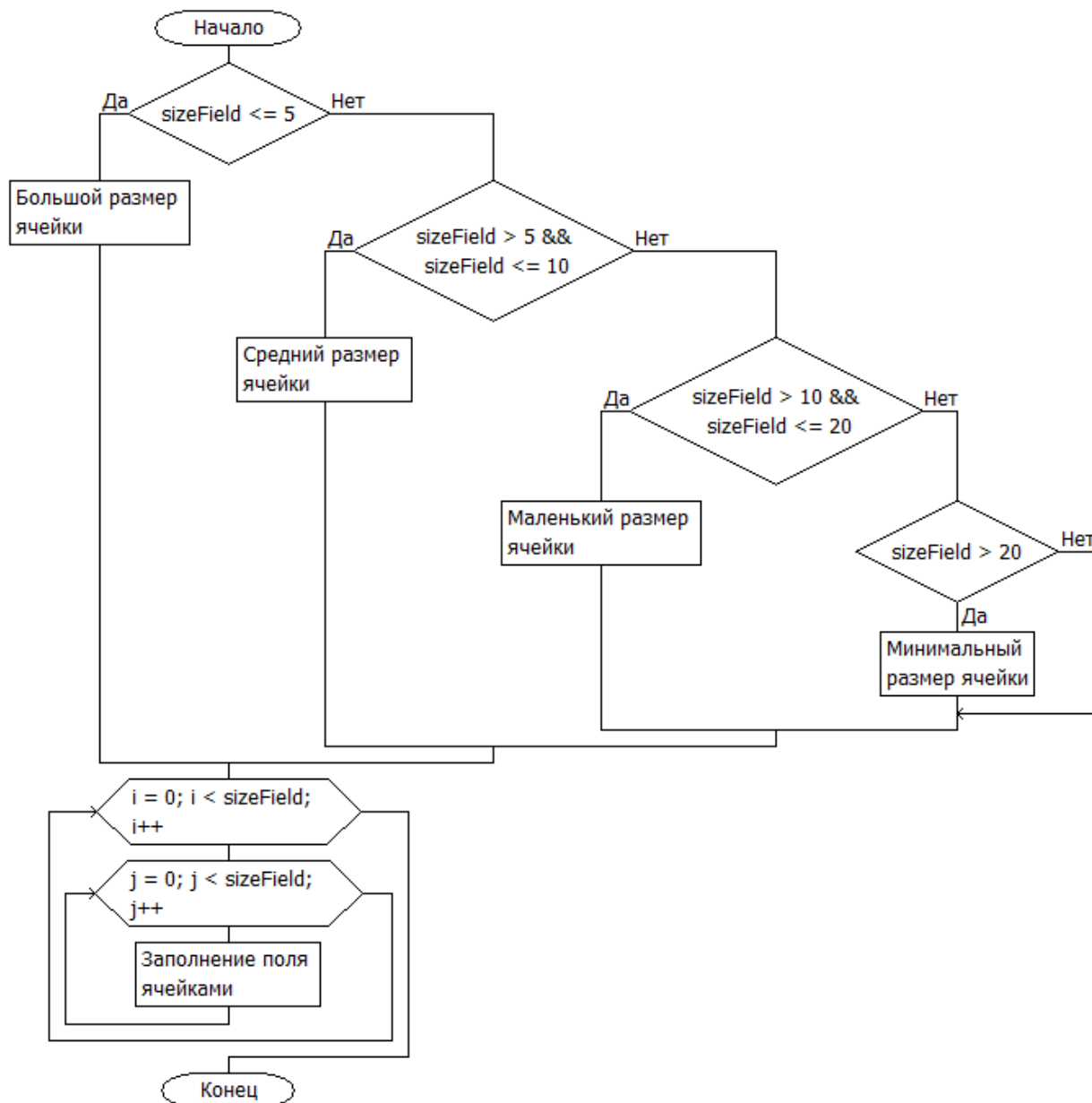


Рисунок 4.1 – «Блок-схема функции BuildingField»

Функция BuildingWindow задает необходимые параметры размера окна приложения (рисунок 4.2).

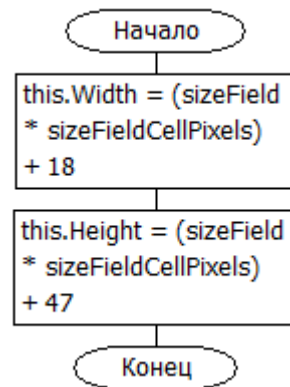


Рисунок 4.2 – «Блок-схема функции BuildingWindow»

Функция CheckCell (рисунок 4.3) проверяет возможность движения в следующую ячейку при распространении волны и восстановлении пути.

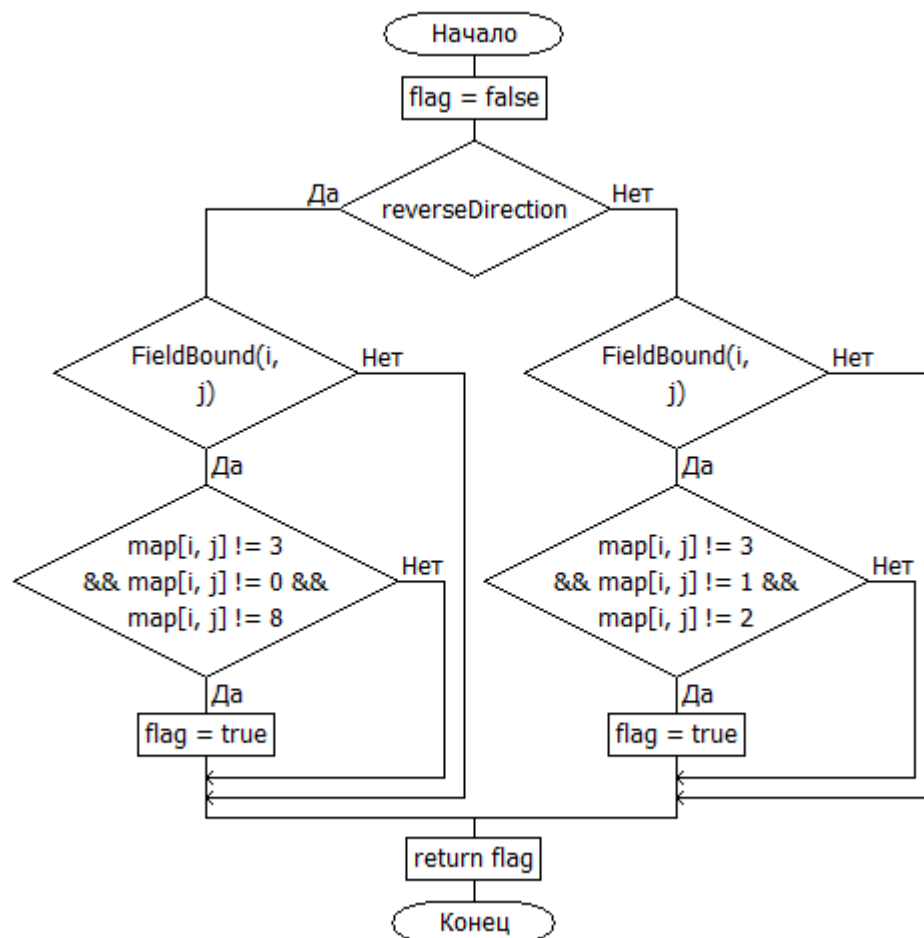


Рисунок 4.3 – «Блок-схема метода CheckCell»

Функция FieldBound проверяет не выходит ли рассматриваемая ячейка за границы поля (рисунок 4.4).

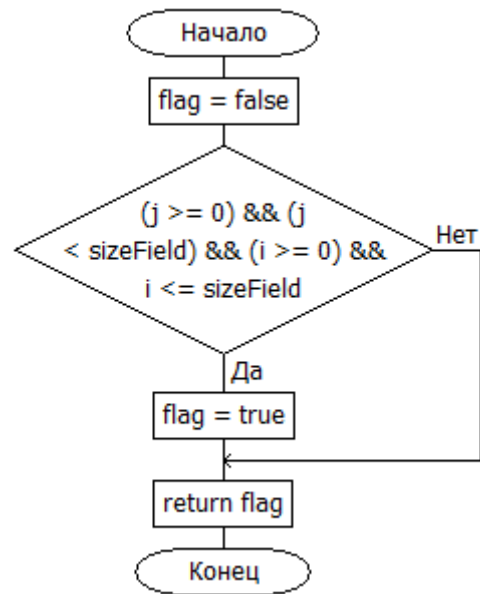


Рисунок 4.4 – «Блок-схема функции FieldBound»

Функция ProcessCmdKey отслеживает нажатие клавиши для начала работы алгоритма. (рисунок 4.5).

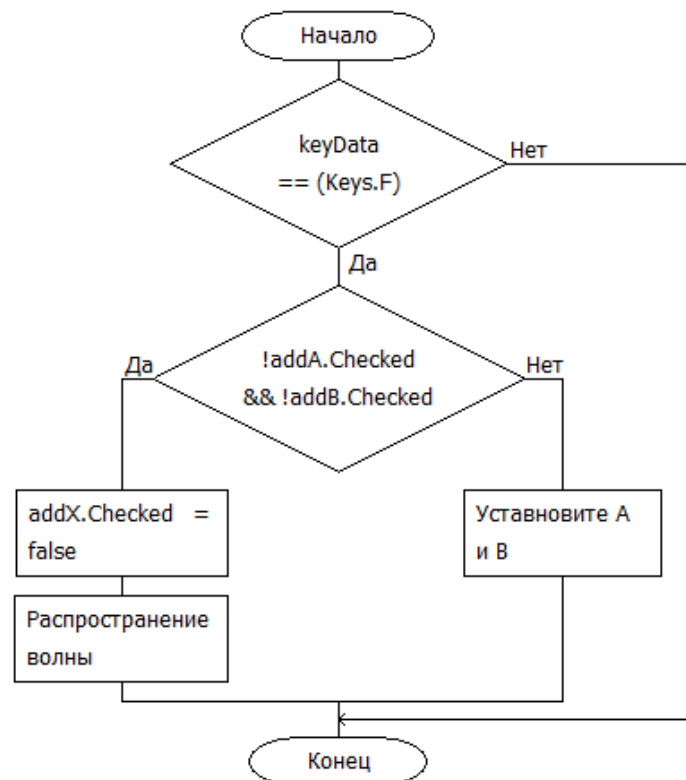


Рисунок 4.5 – «Блок-схема функции ProcessCmdKey»

Функция MarkingField отслеживает нажатие пользователем на ячейку и устанавливает соответствующие значения в ячейки рисунок (4.6).

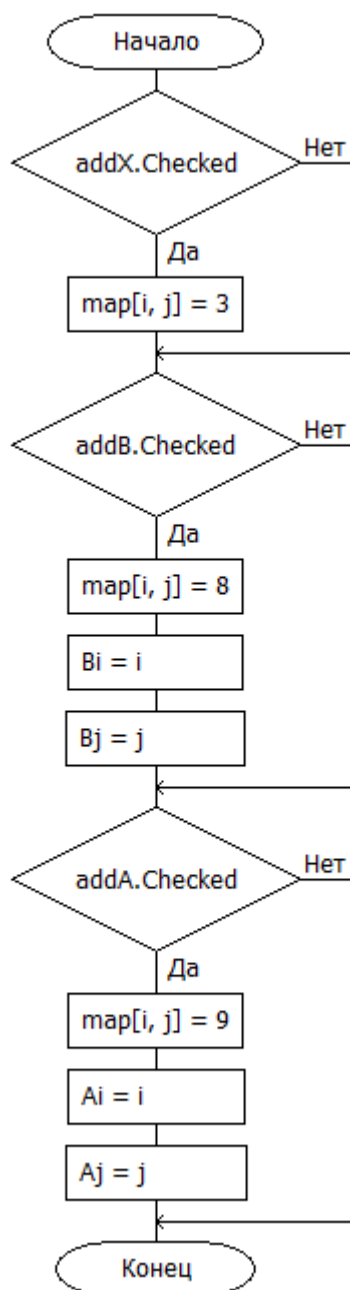


Рисунок 4.6 – «Блок-схема функции MarkingField»

Функция RestoringPath восстанавливает путь рисунок 4.7

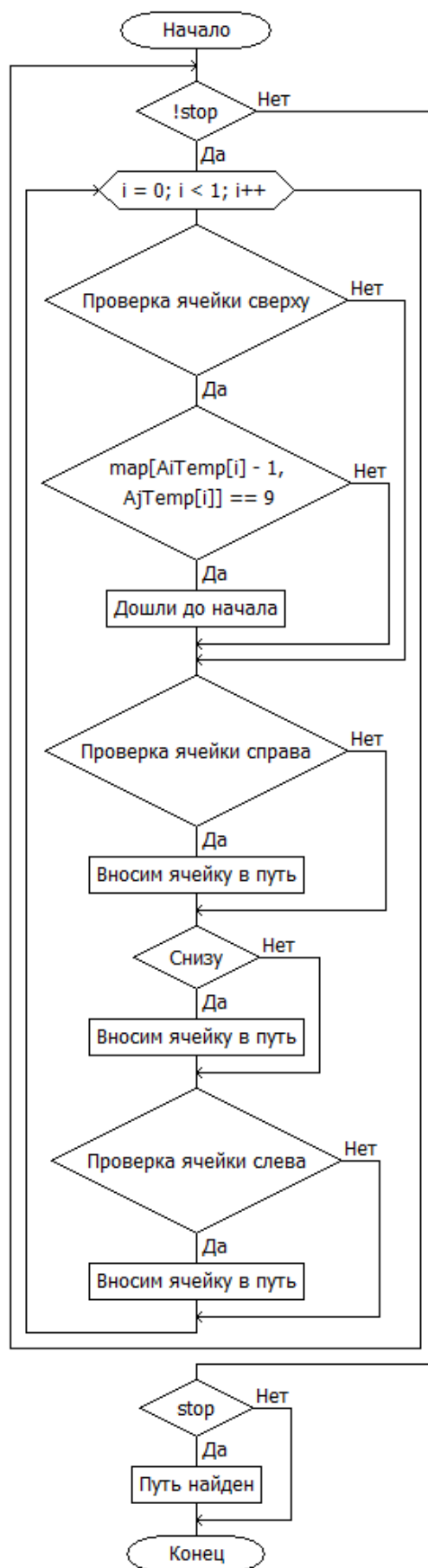


Рисунок 4.7 – «Блок-схема функции RestoringPath»

Функция WavePropagation распространяет волну (рисунок 4.8)

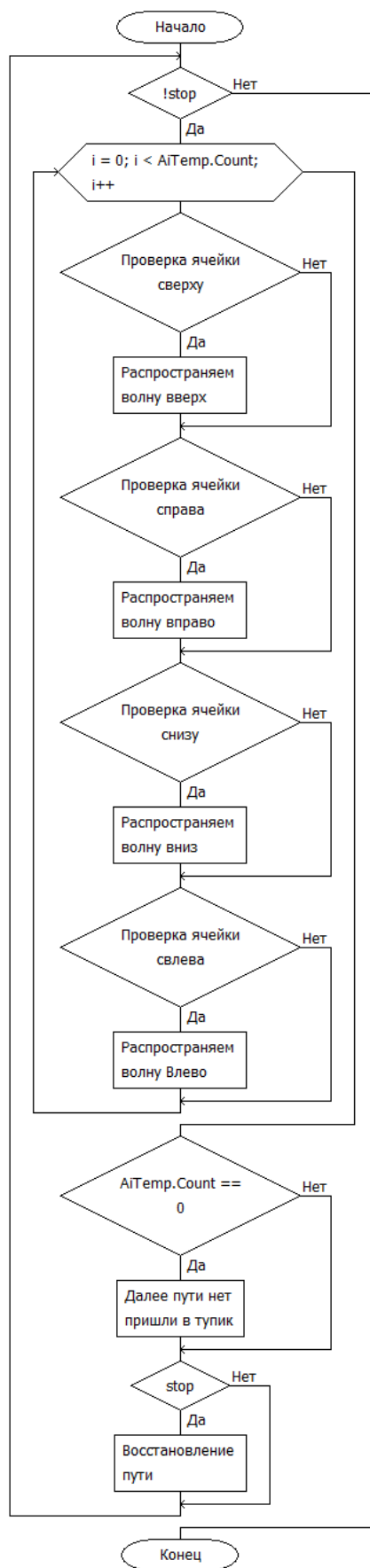


Рисунок 4.8 – «Блок-схема функции WavePropagation»

5 Руководство пользователя

5.1 Введение

5.1.1 Область применения

Программа предназначена для построения оптимального пути из начальной точки в конечную в ДПР размерностью n на n .

5.1.2 Краткое описание возможностей

Приложение позволяет выполнять следующие действия:

- Добавлять начальную и конечную ячейку маршрута
- Добавлять запрещенные для маршрута ячейки
- Просматривать распространение волны
- Оценивать кратчайший путь и количество пройденных ячеек
- Сохранять полученные результаты в текстовый файл и повторно загружать их в программу

5.1.3 Уровень подготовки пользователя

Для работы с приложением пользователь должен владеть клавиатурой и компьютерной мышью.

5.2 Назначение и условие применения

5.2.1 Виды деятельности, функции, программные и аппаратные требования к системе.

Приложение предназначено для автоматизации получения кратчайшего пути из начальной точки ДПР в конечную.

Для запуска приложения необходим персональный компьютер с 64-х разрядный процессором, имеющий менее 1Гб ОЗУ, а также быть под управлением ОС Windows не ниже Windows 7.

5.3 Подготовка к работе

5.3.1 Состав дистрибутива

В состав дистрибутива входит клиентская часть приложения Windows.

5.3.2 Запуск системы

1. Для запуска приложения, откройте папку, в которой находится программа, и запустите файл .exe.

5.3.3 Проверка работоспособности

Приложение работает корректно, если в результате действий пользователя, изложенных в п.п.4.3.2, на экране отобразилось главное окно клиентского приложения без выдачи пользователю сообщений о сбоях.

5.4 Описание операций

1. Отрисовка поля

- Условия выполнения операции следующие: приложение запущено, успешно функционирует, не выполняется операций блокирующих доступ к основному меню.
- Подготовительные действия отсутствуют.
- Основные действия: нажать на кнопку *построить поле*

2. Поставить начальную ячейку

- Условия выполнения операции следующие: приложение запущено, успешно функционирует, не выполняется операций блокирующих доступ к основному меню.
- Подготовительные действия отсутствуют.
- Основные действия: нажать на любую свободную ячейку.
- Заключительные действия не требуются.

3. Поставить конечную ячейку

- Условия выполнения операции следующие: приложение запущено, успешно функционирует, не выполняется операций блокирующих доступ к основному меню.
- Подготовительные действия отсутствуют.
- Основные действия: нажать на любую свободную ячейку.
- Заключительные действия не требуются.

4. Поставить запрещенные ячейки

- Условия выполнения операции следующие: приложение запущено, успешно функционирует, не выполняется операций блокирующих доступ к основному меню.
- Подготовительные действия отсутствуют.
- Основные действия: нажать на любую свободную ячейку.
- Заключительные действия не требуются.

5. Задать начальную вершину и рассчитать

- Условия выполнения операции следующие: приложение запущено, успешно функционирует, не выполняется операций блокирующих доступ к основному меню, нажата клавиша F.
- Подготовительные действия отсутствуют.
- Основные действия: нажать клавишу F
- Заключительные действия: открытое окно с результатом.

5.5 Аварийные ситуации

При неверных действиях пользователей, неверных или недопустимых входных значениях, приложение выдает пользователю соответствующие сообщения и возвращается в рабочее состояние.

6. Решение контрольного примера

6.1 Пример 1

Этот пример будет состоять из матрицы размерностью 5x5. На рисунке 6.1 показаны исходные данные.

2	1			
2↑	2↑		В	
1↑	2↑		1↑	
1↑→	1↑→	2→	2↑→	1
A ↑→	1 ↑→	1→	2↑→	2

Рисунок 6.1 – «Контрольный пример 1»

Длина пути = 7

На рисунке 6.1 показан результат работы программы.

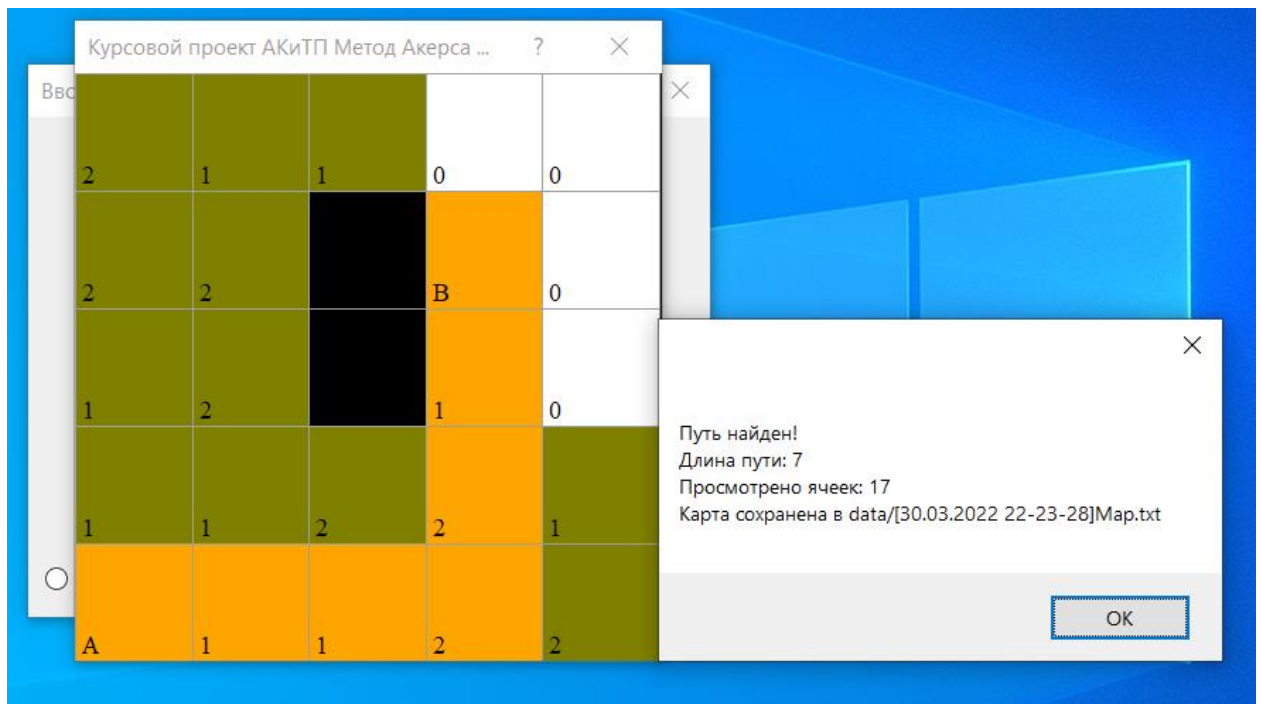


Рисунок 6.2 – «Результат работы программы»

Как видно из результатов решения контрольного примера вручную и с помощью программы, результаты сходятся. Следовательно, можно сделать вывод – программа работает верно.

7. Перечень идентификаторов, используемых при решении программы

string sizeFieldCell; // Размерность ячейки поля

const int HEIGHT_CELLS = 23; Исходная(минимальная) высота ячейки поля

const int CELL_HEIGHT_INC = 20; // Приращение высоты ячейки поля

int sizeFieldCellPixels; // Размерность ячейки в пикселях

public static int sizeField; // Размер поля, задает пользователь

public int Ai, Aj, Bi, Bj; // Соответствующие координаты точки А(начала) и В(конца)

public int[,] map = new int[1000, 1000]; // Карта поля

private List<int> AiTemp = new(); // Список временных координат строк

private List<int> AjTemp = new(); // Список временных координат столбцов

private List<int> BiTemp = new(); // Список временных координат строк

private List<int> BjTemp = new(); // Список временных координат столбцов

readonly int[] pos1 = { 1, 1, 2, 2 }; // Последовательность распространения волны

int totalCellsViewed = 0; // Всего просмотренных ячеек

int pathLength = 1; // Длина пути

Заключение

В ходе выполнения курсового проекта был изучен принцип работы алгоритма Акерса для трассировки печатных плат и написана программа на языке программирования C# для реализации этого алгоритма. Помимо этого, были получены новые навыки программирования на C# и использования технологии .NET.

Список литературы

1. Сапрыкин А.Н. Алгоритмические методы автоматизации конструирования электронных средств: учебное пособие – Рязань: ИП Коняхин А.В. (Book Jet), 2021. – 116 с.
2. Горин В.С. Исследование алгоритмов трассировки печатных соединений. Методические указания к лабораторным работам. РГРТУ 2006 – 16с.
3. Селютин В. А. Машинное конструирование электронных устройств. - М.: «Сов. радио», 1977. - 384с.

Приложение (Листинг программного кода)

```
namespace KursShmakovAKITP
{
    public partial class Form1 : Form
    {
        string sizeFieldCell; // Размерность ячейки поля
        const int HEIGHT_CELLS = 23; // Исходная(минимальная) высота ячейки поля
        const int CELL_HEIGHT_INC = 20; // Приращение высоты ячейки поля
        int sizeFieldCellPixels; // Размерность ячейки в пикселях
        public static int sizeField; // Размер поля, задает пользователь
        public int Ai, Aj, Bi, Bj; // Соответствующие координаты точки A(начала) и
В(конца)

        public int[,] map = new int[1000, 1000]; // Карта поля
        private List<int> AiTemp = new(); // Список временных координат строк
        private List<int> AjTemp = new(); // Список временных координат столбцов
        private List<int> BiTemp = new(); // Список временных координат строк
        private List<int> BjTemp = new(); // Список временных координат столбцов
        readonly int[] pos1 = { 1, 1, 2, 2 }; // Последовательность распространения
ВОЛНЫ

        int totalCellsViewed = 0; // Всего просмотренных ячеек
        int pathLength = 1; // Длина пути

        // Элементы управления для выбора размещения требуемого элемента на поле
        RadioButton addA = new RadioButton();
        RadioButton addB = new RadioButton();
        RadioButton addX = new RadioButton();

        /*
         * Задание параметров окна в зависимости от количества ячеек
         */
        private void BuildingWindow() {
            // Установка размера программы
            this.Width = (sizeField * sizeFieldCellPixels) + 18;
            this.Height = (sizeField * sizeFieldCellPixels) + 47;
        }

        /*
         * Построение поля
         */
        private void BuildingField() {
            // Настройки поля
            Field.RowCount = sizeField;
        }
    }
}
```

```

Field.ColumnCount = sizeField;
Field.AutoSizeRowsMode = DataGridViewAutoSizeRowsMode.AllCells;
Field.DefaultCellStyle.WrapMode = DataGridViewTriState.True;

// Выбор размера ячейки в зависимости от их количества
if(sizeField <= 5){
    sizeFieldCell = "\n\n\n";
}
else if (sizeField > 5 && sizeField <= 10) {
    sizeFieldCell = "\n\n";
}
else if (sizeField > 10 && sizeField <= 20) {
    sizeFieldCell = "\n";
}
else if(sizeField > 20) {
    sizeFieldCell = "";
}

// Рассчитываем значение размера ячеек
sizeFieldCellPixels = (HEIGHT_CELLS + CELL_HEIGHT_INC *
sizeFieldCell.Length);

// Заполняем поле пустыми ячейками
for (int i = 0; i < sizeField; i++)
    for (int j = 0; j < sizeField; j++)
        Field.Rows[i].Cells[j].Value = sizeFieldCell;
}
public Form1()
{
    InitializeComponent();
    BuildingField();
    BuildingWindow();
    Field.DefaultCellStyle.SelectionBackColor = Color.White;
}

/*
 * Обработка событий нажатия на клавиши для выбора действия
 */
protected override bool ProcessCmdKey(ref Message msg, Keys keyData)
{
    if (keyData == (Keys.F))
    {
        if(!addA.Checked && !addB.Checked)

```

```

        {
            addX.Checked = false;
            Field.DefaultCellStyle.SelectionBackColor = Color.Transparent;
            WavePropagation();

        } else
        {
            MessageBox.Show("Установите начальную точку (A) и конечную точку
(В)!");

        }
        return true;
    }
    return base.ProcessCmdKey(ref msg, keyData);
}

private void Form1_Load(object sender, EventArgs e)
{
    // Разрешаем ставить начальную ячейку самой первой
    addA.Checked = true;
}

/*
 * Событие нажатия мышкой на ячейку
 */
private void MarkingField(object sender, DataGridViewCellEventArgs e)
{
    int i = e.RowIndex;
    int j = e.ColumnIndex;

    if (addX.Checked)
    {
        Field.DefaultCellStyle.SelectionBackColor = Color.Black;
        Field.Rows[i].Cells[j].Style.BackColor = Color.Black;
        Field.Rows[i].Cells[j].Selected = false;
        map[i, j] = 3;
    }
    if (addB.Checked)
    {
        Field.DefaultCellStyle.SelectionBackColor = Color.Red;
        Field.Rows[i].Cells[j].Style.BackColor = Color.Red;
        Field.Rows[i].Cells[j].Selected = false;
        Field.DefaultCellStyle.SelectionBackColor = Color.Black;
        addB.Checked = false;
    }
}

```

```

        addX.Checked = true;
        map[i, j] = 8;
        Bi = i;
        Bj = j;

    }
    if (addA.Checked)
    {
        Field.Rows[i].Cells[j].Style.BackColor = Color.Green;
        Field.DefaultCellStyle.SelectionBackColor = Color.Green;
        Field.Rows[i].Cells[j].Selected = false;
        Field.DefaultCellStyle.SelectionBackColor = Color.Red;
        addA.Checked = false;
        addB.Checked = true;
        map[i, j] = 9;
        Ai = i;
        Aj = j;
    }
}

/*
 * Распространение волны
 * Волна распространяется по 2 шага, 11,22...
 */
public void WavePropagation()
{
    int waveSequenceCounter = 0; // Счетчик последовательности
    распространения волны
    bool stop = false; // Флаг остановки распространения волны
    // Начальные координаты распространения волны ячейки A
    AiTemp.Add(Ai);
    AjTemp.Add(Aj);

    // Пока не распространим волну до конца или не дойдем до тупика
    while (!stop)
    {
        // Распространение одной волны
        for (int i = 0; i < AiTemp.Count; i++)
        {
            // Шаг Вверх
            if (CheckCell(AiTemp[i] - 1, AjTemp[i], false))
            {
                // Если подошли к финишу заканчиваем распространение

```

```

        if (map[AiTemp[i] - 1, AjTemp[i]] == 8)
        {
            stop = true;
            break;
        }
        // Присваиваем ячейке номер в соответствии с
последовательностью

        map[AiTemp[i] - 1, AjTemp[i]] = posl[waveSequenceCounter];
        // Добавляем пройденную ячейку во временный список, для
распространения от нее волны

        // на следующем шаге
        BiTemp.Add(AiTemp[i] - 1);
        BjTemp.Add(AjTemp[i]);
        // Подсчитываем количество пройденных ячеек
        totalCellsViewed++;
    }
    // Шаг Вправо
    if (CheckCell(AiTemp[i], AjTemp[i] + 1, false))
    {
        if (map[AiTemp[i], AjTemp[i] + 1] == 8)
        {
            stop = true;
            break;
        }
        map[AiTemp[i], AjTemp[i] + 1] = posl[waveSequenceCounter];
        BiTemp.Add(AiTemp[i]);
        BjTemp.Add(AjTemp[i] + 1);
        totalCellsViewed++;
    }
    // Шаг Вниз
    if (CheckCell(AiTemp[i] + 1, AjTemp[i], false))
    {
        if (map[AiTemp[i] + 1, AjTemp[i]] == 8)
        {
            stop = true;
            break;
        }
        map[AiTemp[i] + 1, AjTemp[i]] = posl[waveSequenceCounter];
        BiTemp.Add(AiTemp[i] + 1);
        BjTemp.Add(AjTemp[i]);
        totalCellsViewed++;
    }
    // Шаг Влево

```

```

        if (CheckCell(AiTemp[i], AjTemp[i] - 1, false))
        {
            if (map[AiTemp[i], AjTemp[i] - 1] == 8)
            {
                stop = true;
                break;
            }
            map[AiTemp[i], AjTemp[i] - 1] = pos1[waveSequenceCounter];
            BiTemp.Add(AiTemp[i]);
            BjTemp.Add(AjTemp[i] - 1);
            totalCellsViewed++;
        }
    }
    // Если шаги некуда больше сделать, значит попали в тупик
    if (AiTemp.Count == 0) {
        MessageBox.Show("Тупик!");
        break;
    }
    // Меняем списки временных координат распространения волны
    пройденной, на новую
    FlippingLists(AiTemp, AjTemp, BiTemp, BjTemp);

    // Если успешно распространили волну и дошли до финишной ячейки
    запускаем функцию восстановления пути
    if (stop)
    {
        AiTemp.Clear();
        AjTemp.Clear();
        RestoringPath(waveSequenceCounter);
    }

    waveSequenceCounter++; // Увеличиваем значение индекса
    последовательности распространения волны
    // Если индекс = 4, значит одну волну распространили и начинаем
    заного

    if (waveSequenceCounter == 4) {waveSequenceCounter = 0;}
}

/*
 * Функция смены временных списков координат
 */

```

```

        public void FlippingLists(List<int> AiTemp, List<int> AjTemp, List<int>
BiTemp, List<int> BjTemp)
        {
            AiTemp.Clear();
            AjTemp.Clear();
            AiTemp.AddRange(BiTemp);
            AjTemp.AddRange(BjTemp);
            BiTemp.Clear();
            BjTemp.Clear();
        }

        /*
        * Функция восстановления пути в качестве параметра принимает значение
счетчика распространения волны
        * на котором остановилась последняя волна
        */
        public void RestoringPath(int waveSequenceCounter)
        {
            // Начальные координаты восстановления пути от финишной ячейки В
            AiTemp.Add(Bi);
            AjTemp.Add(Bj);
            bool stop = false; // Флаг остановки восстановления пути

            // Если волна закончила распространяться на первой единице [1]122, то
предыдущая ячейка начинается с [2]
            if (waveSequenceCounter == 0)
            {
                waveSequenceCounter = 2;
            }
            // Если волна закончила распространяться на первой двойке 11[2]2, то
предыдущая ячейка начинается с [1]
            else if (waveSequenceCounter == 2)
            {
                waveSequenceCounter = 0;
            }

            // Заполняем поле значениями в соответствии с ячейками
            // 0 - пустая 1 - первый фронт волны 2 - второй фронт волны 3 -
препятствие

            // 8 - Финиш 9 - Начало
            for (int i = 0; i < sizeField; ++i)
            {
                for (int j = 0; j < sizeField; ++j)

```



```

{
    Field.Rows[i].Cells[j].Value = sizeFieldCell + map[i, j];

    if (map[i, j] == 1)
    {
        Field.Rows[i].Cells[j].Style.BackColor = Color.Olive;
    }
    if (map[i, j] == 2)
    {
        Field.Rows[i].Cells[j].Style.BackColor = Color.Olive;
    }
    if (map[i, j] == 3)
    {
        Field.Rows[i].Cells[j].Style.BackColor = Color.Black;
    }
    if (map[i, j] == 8)
    {
        Field.Rows[i].Cells[j].Selected = false;
        Field.Rows[i].Cells[j].Value = sizeFieldCell + "B";
        Field.Rows[i].Cells[j].Style.BackColor = Color.Orange;
    }
    if (map[i, j] == 9)
    {
        Field.Rows[i].Cells[j].Value = sizeFieldCell + "A";
        Field.Rows[i].Cells[j].Style.BackColor = Color.Orange;
    }
}
}
// Пока не дошли до начала
while (!stop)
{
    pathLength++; // Подсчитываем путь

    for (int i = 0; i < 1; i++)
    {
        // Проверяем ячейку сверху
        if (CheckCell(AiTemp[i] - 1, AjTemp[i], true))
        {
            // Уже дошли до начала останавливаемся
            if (map[AiTemp[i] - 1, AjTemp[i]] == 9)
            {
                stop = true;
                break;
            }
        }
    }
}

```

```

    }
    // Сравниваем просматриваемую ячейку с заданной
последовательностью
    if (map[AiTemp[i] - 1, AjTemp[i]] ==
posl[waveSequenceCounter])
    {
        Field.Rows[AiTemp[i] -
1].Cells[AjTemp[i]].Style.BackColor = Color.Orange;
        BiTemp.Add(AiTemp[i] - 1);
        BjTemp.Add(AjTemp[i]);

        FlippingLists(AiTemp, AjTemp, BiTemp, BjTemp);
        waveSequenceCounter++; // Прибавляем счетчик
последовательности

        // Счетчик последовательности в начало если всю прошли
        if (waveSequenceCounter == 4)
        {
            waveSequenceCounter = 0;
        }
        break;
    }
}

// Проверяем ячейку справа
if (CheckCell(AiTemp[i], AjTemp[i] + 1, true))
{
    if (map[AiTemp[i], AjTemp[i] + 1] == 9)
    {
        stop = true;
        break;
    }

    if (map[AiTemp[i], AjTemp[i] + 1] ==
posl[waveSequenceCounter])
    {
        Field.Rows[AiTemp[i]].Cells[AjTemp[i] +
1].Style.BackColor = Color.Orange;
        BiTemp.Add(AiTemp[i]);
        BjTemp.Add(AjTemp[i] + 1);

        FlippingLists(AiTemp, AjTemp, BiTemp, BjTemp);
        waveSequenceCounter++;
    }
}

```

```

        if (waveSequenceCounter == 4)
        {
            waveSequenceCounter = 0;
        }
        break;
    }
}

// Проверяем ячейку снизу
if (CheckCell(AiTemp[i] + 1, AjTemp[i], true))
{
    if (map[AiTemp[i] + 1, AjTemp[i]] == 9)
    {
        stop = true;
        break;
    }

    if (map[AiTemp[i] + 1, AjTemp[i]] ==
posl[waveSequenceCounter])
    {
        Field.Rows[AiTemp[i] +
1].Cells[AjTemp[i]].Style.BackColor = Color.Orange;
        BiTemp.Add(AiTemp[i] + 1);
        BjTemp.Add(AjTemp[i]);

        FlippingLists(AiTemp, AjTemp, BiTemp, BjTemp);
        waveSequenceCounter++;

        if (waveSequenceCounter == 4)
        {
            waveSequenceCounter = 0;
        }
        break;
    }
}

// Проверяем ячейку Слева
if (CheckCell(AiTemp[i], AjTemp[i] - 1, true))
{
    if (map[AiTemp[i], AjTemp[i] - 1] == 9)
    {
        stop = true;

```

```

        break;
    }

    if (map[AiTemp[i], AjTemp[i] - 1] ==
posl[waveSequenceCounter])
    {
        Field.Rows[AiTemp[i]].Cells[AjTemp[i] -
1].Style.BackColor = Color.Orange;
        BiTemp.Add(AiTemp[i]);
        BjTemp.Add(AjTemp[i] - 1);

        FlippingLists(AiTemp, AjTemp, BiTemp, BjTemp);
        waveSequenceCounter++;

        if (waveSequenceCounter == 4)
        {
            waveSequenceCounter = 0;
        }
        break;
    }
}

}

if(stop)
{
    MessageBox.Show("Путь найден!\nДлина пути: " + pathLength +
        "\nПросмотрено ячеек: " + totalCellsViewed);
}

}

private void Form1_HelpButtonClicked(object sender,
System.ComponentModel.CancelEventArgs e)
{
    MessageBox.Show("Для распространения волны нажмите F.\n" +
        "Для построение нового поля закройте окно.");
}

/*
 * Функция проверки не выходит ли рассматриваемая ячейка за границы поля
 */
public static bool FieldBound(int i, int j)
{

```

```

        bool flag = false;
        if (j >= 0 && j < sizeField & i >= 0 && i < sizeField)
        {
            flag = true;
        }

        return flag;
    }
    /*
    * Функция проверки на возможность движения в следующую ячейку при
распространении волны
    * и восстановлении пути (reverseDirection true).
    */
    public bool CheckCell(int i, int j, bool reverseDirection)
    {
        bool flag = false;

        if (reverseDirection)
        {
            if (FieldBound(i, j))
            {
                // При восстановлении пути ячейка не должна быть стеной,пустой
и конечной

                if (map[i, j] != 3 && map[i, j] != 0 && map[i, j] != 8)
                {
                    flag = true;
                }
            }
        }
        else
        {
            if (FieldBound(i, j))
            {
                // При распространении волны ячейка не должна быть
стеной,началом и просмотренной

                if (map[i, j] != 3 && map[i, j] != 9 && map[i, j] != 1
                    && map[i, j] != 2)
                {
                    flag = true;
                }
            }
        }
        return flag;
    }

```

```
    }

    public void ZeroingValues()
    {
        totalCellsViewed = 0;
        pathLength = 1;
    }
}

}
```